

フリーのソフト Maxima を使って原子 軌道と分子軌道を計算してみよう

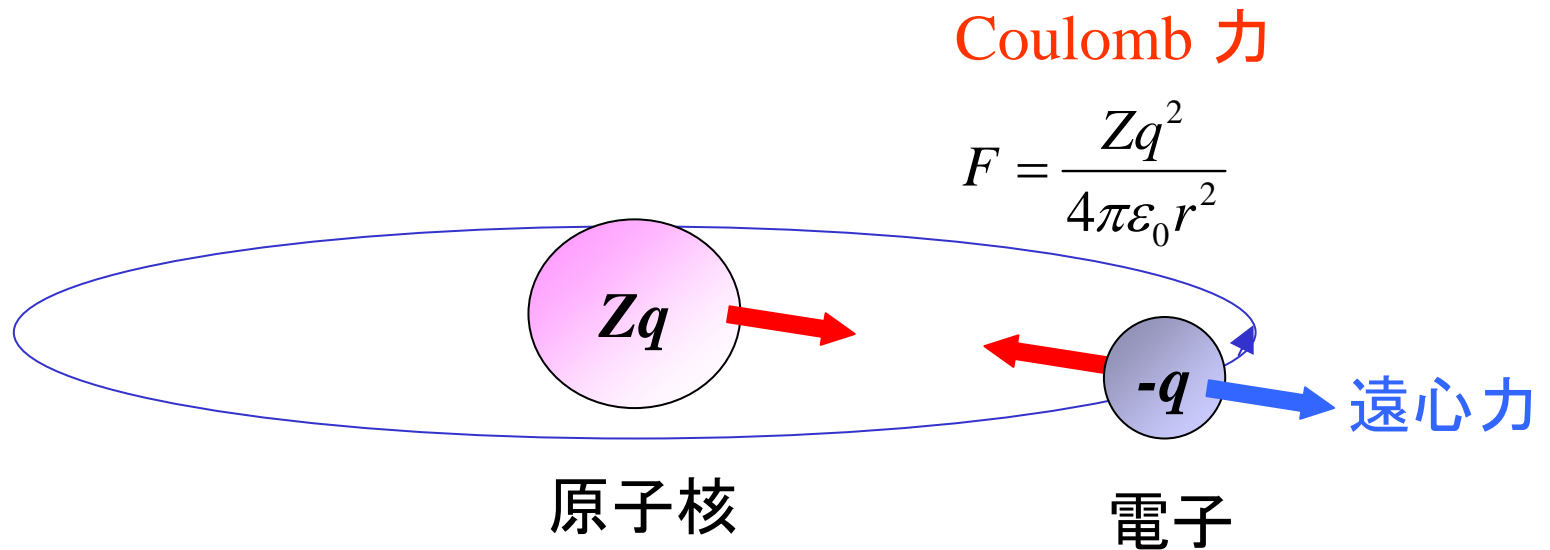
[Maxima のダウンロード](#)

Maxima の使い方は例えば [ここ](#) を見てください

原子軌道と分子結合

原子軌道

原子に束縛された1個の電子の状態



古典力学

軌道面を (x, y) 面にとる

$$m \frac{d^2 x}{dt^2} = - \frac{Zq^2}{4\pi\epsilon_0 r^2} \frac{x}{r}$$

$$m \frac{d^2 y}{dt^2} = - \frac{Zq^2}{4\pi\epsilon_0 r^2} \frac{y}{r}$$

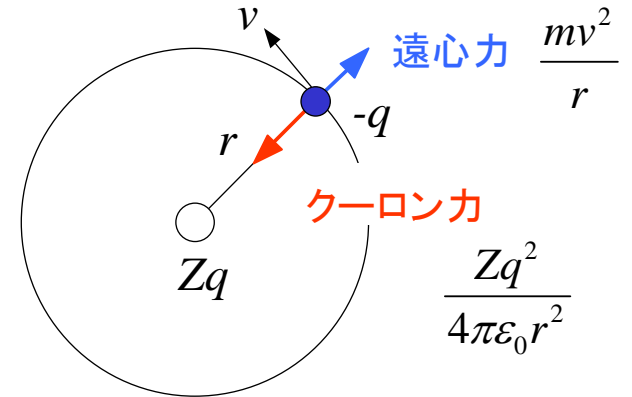
$$\left. \begin{aligned} x &= r \cos \phi \\ y &= r \sin \phi \\ \alpha &= \frac{Zq^2}{4\pi\epsilon_0 m} \end{aligned} \right\} \text{と置くと}$$

$$\frac{d^2 r}{dt^2} = r \left(\frac{d\phi}{dt} \right)^2 - \frac{\alpha}{r^2}$$

$$mr^2 \frac{d\phi}{dt} = l$$

角運動量の保存

$$\vec{l} = \vec{r} \times \vec{p}$$



遠心力 クーロン力

古典力学

$$\frac{d^2 r}{dt^2} = r \left(\frac{d\phi}{dt} \right)^2 - \frac{\alpha}{r^2} \quad \longrightarrow \quad \frac{d^2 r}{dt^2} = \frac{\beta}{r^3} - \frac{\alpha}{r^2} \quad \alpha = \frac{Zq^2}{4\pi\epsilon_0 m}$$

$$mr^2 \frac{d\phi}{dt} = l \quad \beta = \frac{l^2}{m^2}$$

$$r = \frac{1}{s} \quad \text{と置くと} \quad \frac{dr}{dt} = -\frac{1}{s^2} \frac{ds}{dt} = -\frac{1}{s^2} \frac{ds}{d\phi} \frac{d\phi}{dt} = -\sqrt{\beta} \frac{ds}{d\phi}$$

$$\frac{d^2 r}{dt^2} = -\sqrt{\beta} \frac{d^2 s}{d\phi^2} \frac{d\phi}{dt} = -\beta s^2 \frac{d^2 s}{d\phi^2}$$

$$\longrightarrow \quad \frac{d^2 s}{d\phi^2} = -s + \frac{\alpha}{\beta}$$

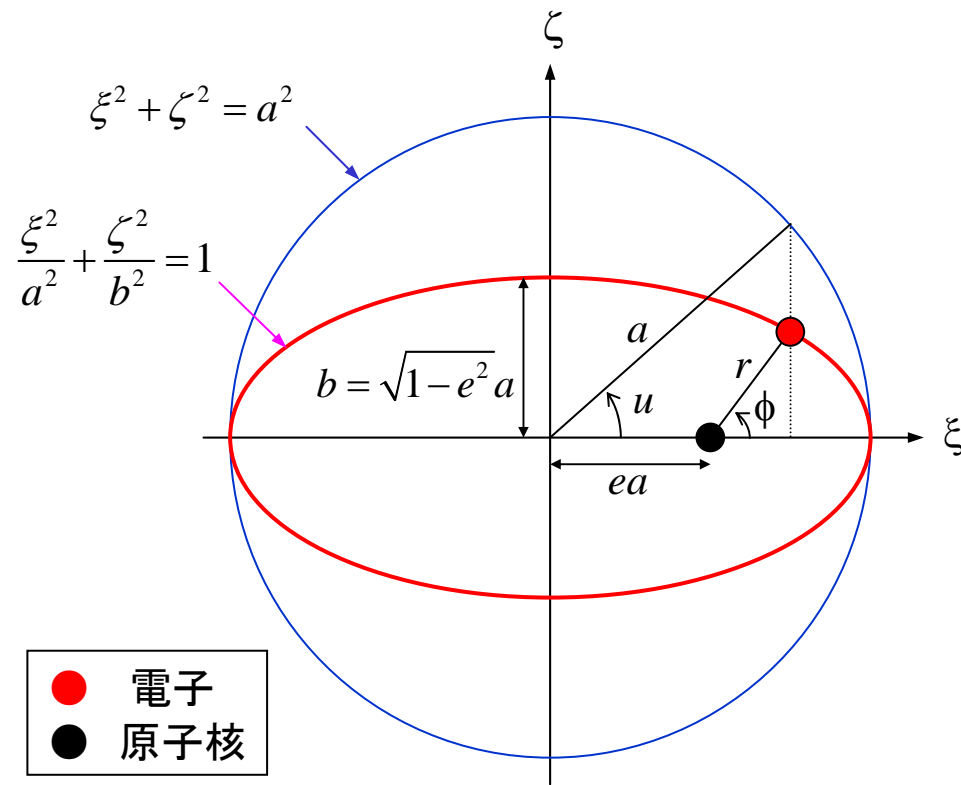
$$\longrightarrow \quad s = \frac{\alpha}{\beta} [1 + e \cos \phi]$$

$$a = \frac{\beta}{\alpha} \frac{1}{1 - e^2} \quad \text{と置くと}$$

$$r = \frac{a(1 - e^2)}{1 + e \cos \phi}$$

r は $a(1-e)$ と $a(1+e)$ の間の値をとる

古典力学



原子核の位置は楕円の焦点

e は離心率
 a は長半径
 b は短半径

楕円軌道

$$x = a(\cos u - e)$$

$$y = b \sin u$$

$$t = \frac{u - e \sin u}{\omega}$$

$$\omega = \sqrt{\frac{Zq^2}{4\pi\epsilon_0 m} \frac{1}{a^3}}$$

保存量

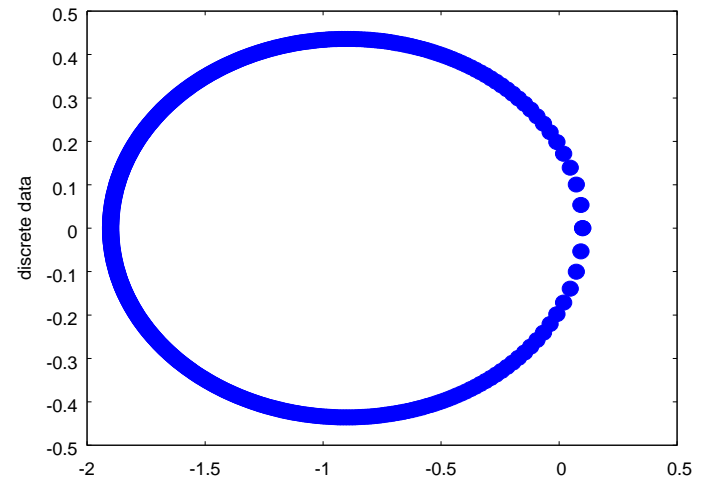
エネルギー $E = -\frac{Zq^2}{8\pi\epsilon_0} \frac{1}{a}$

角運動量 $\vec{l} = \vec{r} \times \vec{p}$

$$l = \sqrt{\frac{mZq^2}{4\pi\epsilon_0 a}} b$$

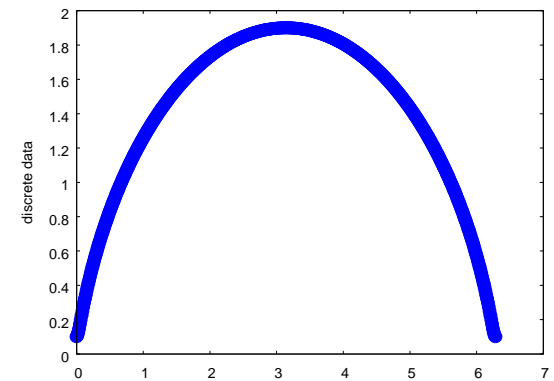
軌道を等時間間隔でプロットする

```
m:500;
t:makelist(i*2*%pi/m,i,0,m);
load(newton);
findu(t):=newton(x-e*sin(x)-t,t);
a:1;
e:0.9;
u:makelist(findu(float(i*2.0*%pi/m)),i,0,m);
x:makelist(a*cos(u[i])-e*a,i,1,m+1);
y:makelist(sqrt(1-e^2)*a*sin(u[i]),i,1,m+1);
plot2d([discrete,x,y],[style,points]);
```



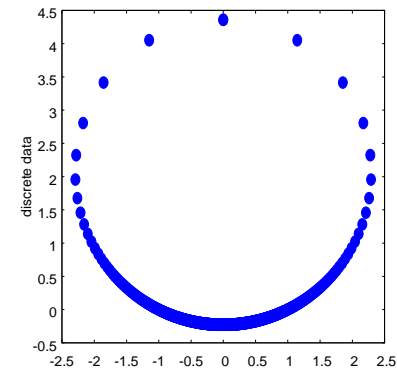
電子と原子核の距離を時間を横軸にしてプロットする

```
r:makelist(a*(1-e*cos(u[i])),i,1,m+1);
plot2d([discrete,t,r],[style,points]);
```

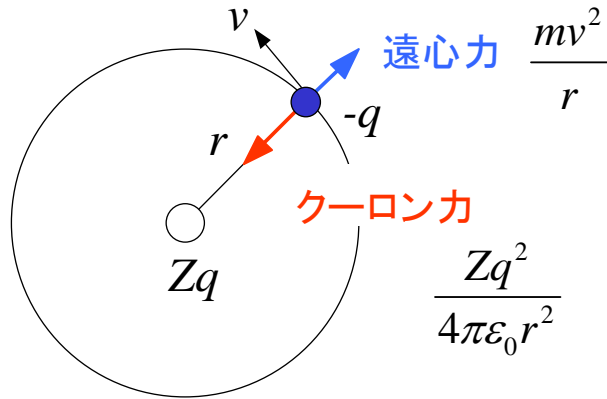


電子の速度をプロットすると真円になる

```
vx:makelist(-a*sin(u[i])/(1-e*cos(u[i])),i,1,m+1);
vy:makelist(sqrt(1-e^2)*a*cos(u[i])/(1-e*cos(u[i])),i,1,m+1);
plot2d([discrete,vx,vy],[style,points]);
```



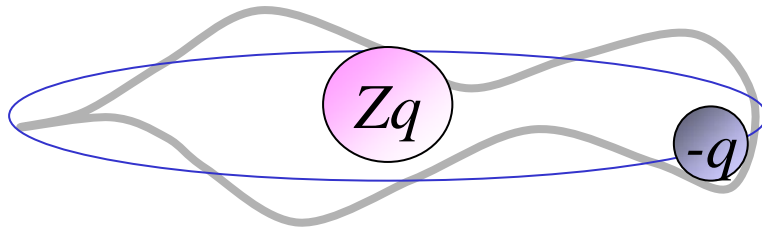
量子論 半古典的な扱い



$$\frac{mv^2}{r} = \frac{Zq^2}{4\pi\epsilon_0 r^2} \quad \Rightarrow \quad r = \frac{Zq^2}{4\pi\epsilon_0 mv^2}$$

$$E = \frac{mv^2}{2} - \frac{Zq^2}{4\pi\epsilon_0 r} \quad \Rightarrow \quad E = -\frac{Zq^2}{8\pi\epsilon_0 r}$$

電子は波



円周に沿って定在波が立つ条件

$$2\pi r = \lambda n \quad \lambda: \text{波長}$$

ド・ブロイの関係

$$\lambda = \frac{h}{mv}$$

$$\Rightarrow r = \frac{\epsilon_0 h^2}{\pi m Z q^2} n^2 = a_0 n^2$$

$$a_0 = \frac{\epsilon_0 h^2}{\pi m Z q^2}$$

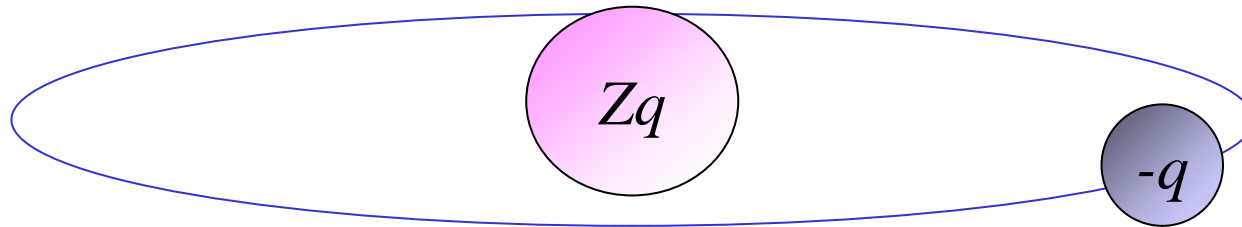
Bohr 半径 $\doteq 0.529 \text{ \AA}$
($Z = 1$)

$$E = -\frac{mZ^2 q^4}{8\epsilon_0^2 h^2} \frac{1}{n^2} = -\frac{Z^2 Ry}{n^2}$$

$$Ry = \frac{mq^4}{8\epsilon_0^2 h^2}$$

Rydberg $\doteq 13.6 \text{ eV}$

量子力学的扱い



電子の状態は波動関数で表わされる

電子の波動関数 Ψ

電子の存在確率 $|\Psi|^2$

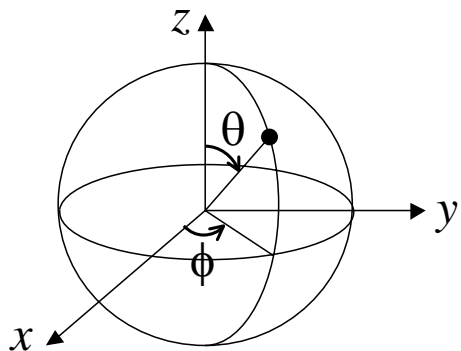
Schrödinger方程式

$$-\frac{\hbar^2}{2m} \left(\frac{\partial^2 \Psi}{\partial x^2} + \frac{\partial^2 \Psi}{\partial y^2} + \frac{\partial^2 \Psi}{\partial z^2} \right) - \frac{Zq^2}{4\pi\epsilon_0 r} \Psi = E\Psi$$

運動エネルギー

Coulomb ポテンシャル

極座標



$$x = r \sin \theta \cos \phi$$

$$y = r \sin \theta \sin \phi$$

$$z = r \cos \theta$$

$$-\frac{\hbar^2}{2m} \left[\frac{1}{r} \frac{\partial^2}{\partial r^2} (r\Psi) + \frac{1}{r^2} \left\{ \frac{1}{\sin \theta} \frac{\partial}{\partial \theta} \left(\sin \theta \frac{\partial \Psi}{\partial \theta} \right) + \frac{1}{\sin^2 \theta} \frac{\partial^2 \Psi}{\partial \phi^2} \right\} \right] - \frac{Zq^2}{4\pi\epsilon_0 r} \Psi = E\Psi$$

固有関数 $\Psi_{nlm} = R_{nl}(r)Y_{lm}(\theta, \phi) \leftarrow$ 球調和関数(Spherical harmonics)

角運動量 $\vec{l} = \vec{r} \times \vec{p}$ $\frac{1}{\hbar^2} \vec{l} \cdot \vec{l} Y_{lm} = -\frac{1}{\sin \theta} \frac{\partial}{\partial \theta} \left(\sin \theta \frac{\partial Y_{lm}}{\partial \theta} \right) - \frac{1}{\sin^2 \theta} \frac{\partial^2 Y_{lm}}{\partial \phi^2} = l(l+1)Y_{lm}$

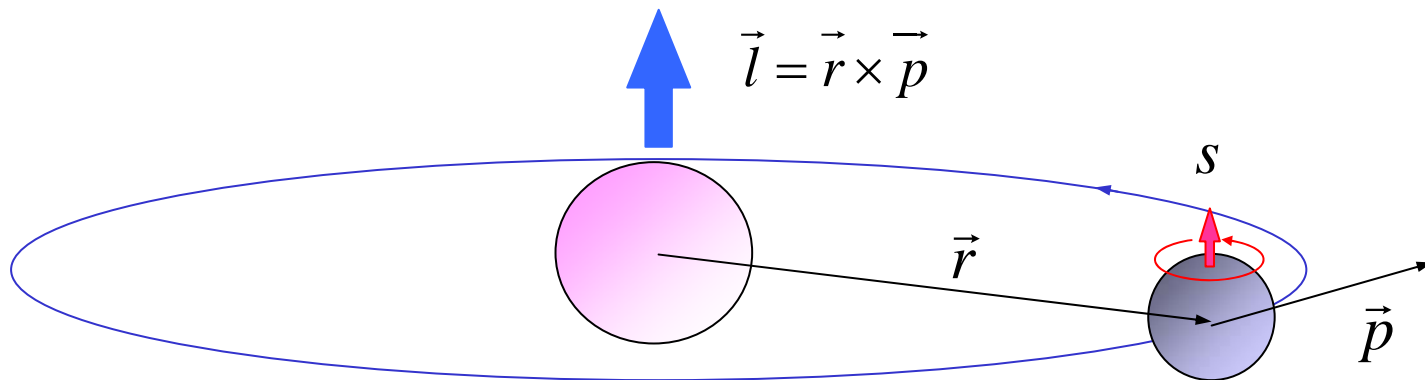
$$l_z Y_{lm} = \hbar m Y_{lm}$$

$$R_{nl}(r) = \left(\frac{2}{a_0 n} \right)^{2/3} \left[\frac{(n-l-1)!}{2n(n+l)!} \right]^{1/2} \left(\frac{2r}{a_0 n} \right)^l e^{-r/a_0 n} L_{n-l-1}^{2l+1} \left(\frac{2r}{a_0 n} \right)$$

Laguerre 関数

固有エネルギー $E_{nlm} = -\frac{Z^2 m q^4}{32\pi^2 \epsilon_0 \hbar^2} \cdot \frac{1}{n^2}$ $n = 1, 2, 3, \dots$
 $l = 0, 1, \dots, n-1$
 $m = l, l-1, \dots, -l+1, -l$

原子軌道を表す4つの量子数



主量子数 $n = 1, 2, 3, \dots$ (K殻、L殻、...)

軌道量子数 $l = 0, 1, 2, \dots, n-1$

磁気量子数 $m = -l, \dots, -1, 0, 1, \dots, l$

スピン量子数 $s = -1/2, 1/2$

エネルギーは主量子数 n のみで決まる $E = -\frac{Z^2 Ry}{n^2}$

l	軌道	
0	s	<i>sharp</i>
1	p	<i>principal</i>
2	d	<i>diffuse</i>
3	f	<i>fundamental</i>
4	g	
5	h	

原子軌道

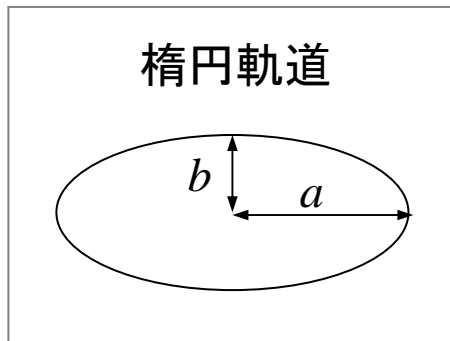
nl で表わす $1s, 2s, 2p, 3s, 3p, 3d, 4s, 4p, 4d, 4f, \dots$

古典運動との対応

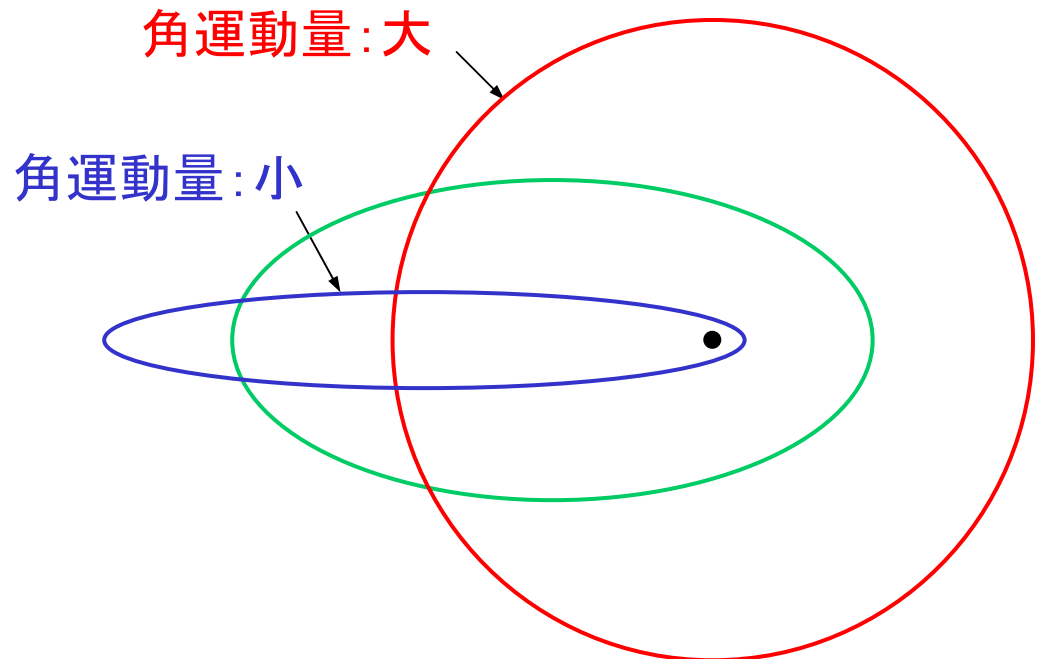
保存量

エネルギー $E = -\frac{Zq^2}{8\pi\epsilon_0} \frac{1}{a} \rightarrow a = n^2 a_B \iff$ 主量子数 n : 長半径の量子化

角運動量 $L = \sqrt{\frac{mZq^2}{4\pi\epsilon_0 a}} b \rightarrow b = n l a_B \iff$ 軌道量子数 l : 短半径の量子化



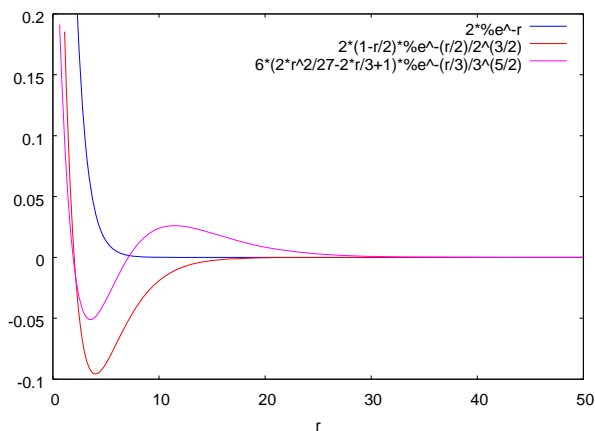
同一エネルギーでの軌道



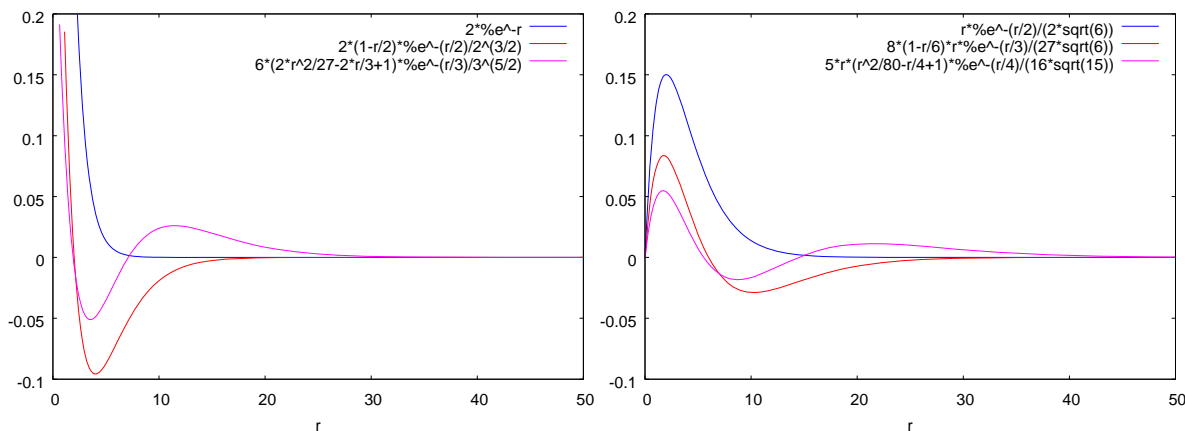
動径方向の波動関数 $R_{nl}(r)$ をプロットする。

```
load("orthopoly");
assume(%a0>0);
Rnl(n,l,r) := sqrt((2/(%a0*n))^3*(n-l-1)!/(2*n*((n+1)!)))*(2*r/(%a0*n))^l*exp(
-r/(%a0*n))* gen_laguerre(n-l-1,2*l+1,2*r/(%a0*n));
Ylm(l,m,theta,phi) := spherical_harmonic(l,m,theta,phi);
psi(n,l,m,r,theta,phi) := Rnl(n,l,r)*Ylm(l,m,theta,phi);
%a0:1;
plot2d([Rnl(1,0,r),Rnl(2,0,r),Rnl(3,0,r)],[r,0,50],[y,-0.1,0.2]);
plot2d([Rnl(2,1,r),Rnl(3,1,r),Rnl(4,1,r)],[r,0,50],[y,-0.1,0.2]);
plot2d([Rnl(3,2,r),Rnl(4,2,r),Rnl(5,2,r)],[r,0,50],[y,-0.1,0.2]);
```

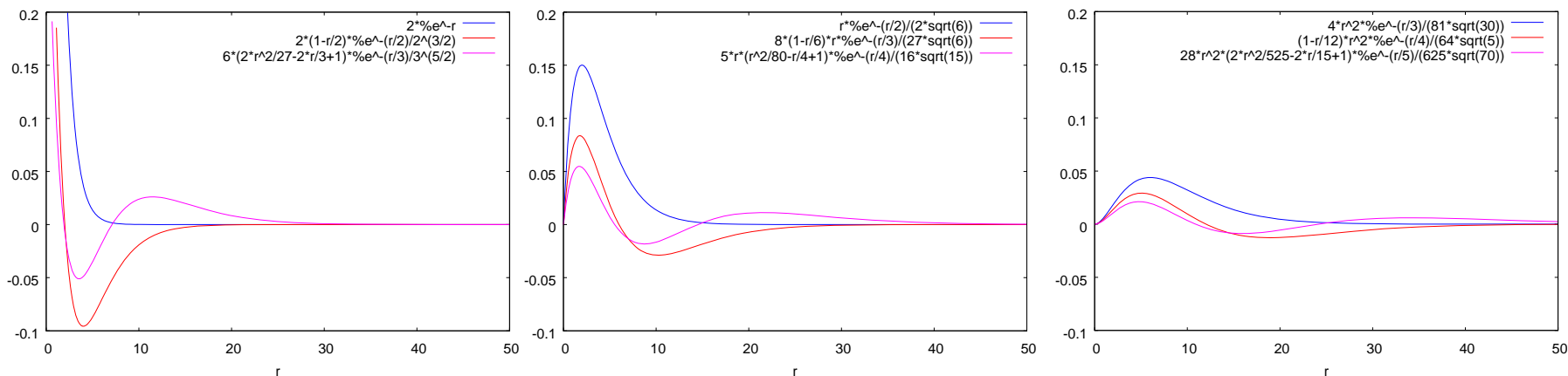
$s(l=0) n=1, 2, 3$



$p(l=1) n=2, 3, 4$



$d(l=2) n=3, 4, 5$

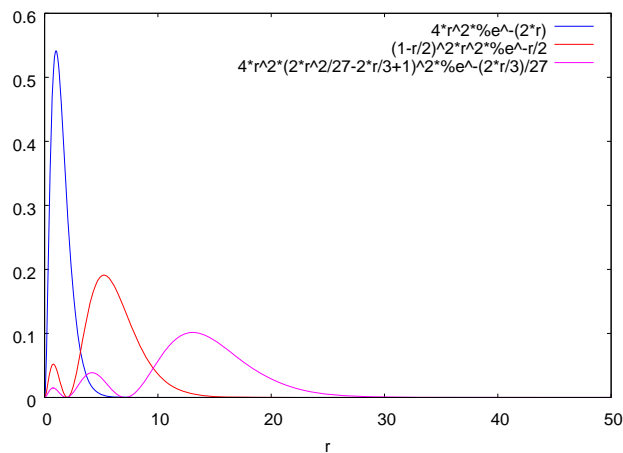


$s(l=0)$ で原子核の位置 ($r=0$) で波動関数の値が大きい
 l が大きくなるほど、電子は原子核から遠いところで存在確率が大きくなる
 波動関数の節 ($\Psi=0$) の数は $n-l-1$ 個

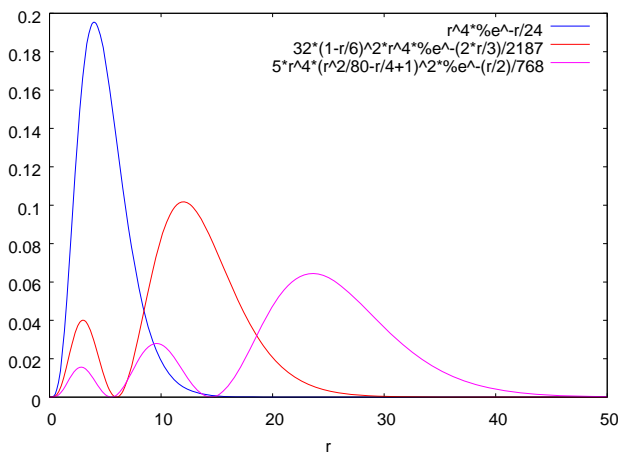
動径方向の電子の存在確率 $r^2 R_{nl}(r)^2$

```
plot2d([r^2*Rnl(1,0,r)^2,r^2*Rnl(2,0,r)^2,r^2*Rnl(3,0,r)^2],[r,0,50]);
plot2d([r^2*Rnl(2,1,r)^2,r^2*Rnl(3,1,r)^2,r^2*Rnl(4,1,r)^2],[r,0,50]);
plot2d([r^2*Rnl(3,2,r)^2,r^2*Rnl(4,2,r)^2,r^2*Rnl(5,2,r)^2],[r,0,50]);
```

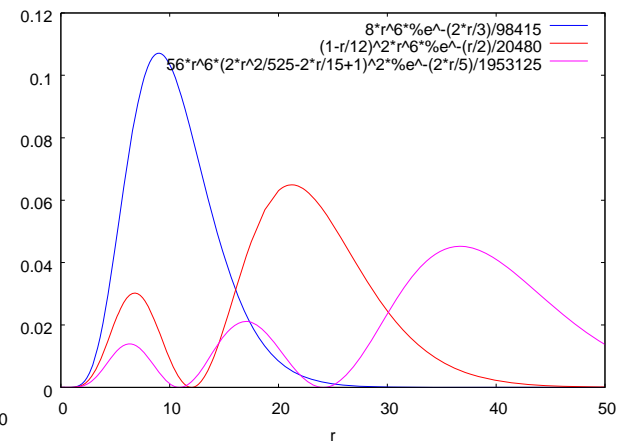
$s(l=0) n=1, 2, 3$



$p(l=1) n=2, 3, 4$



$d(l=2) n=3, 4, 5$



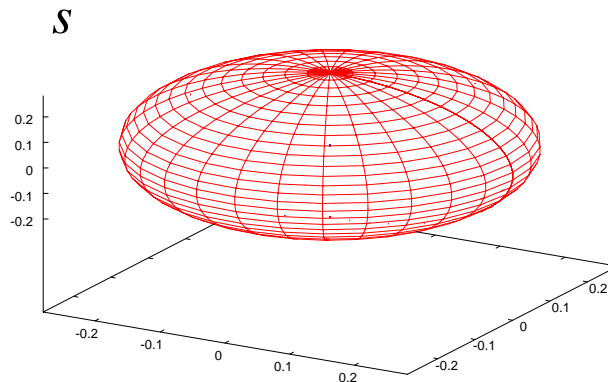
波動関数の角度依存

複素数は扱いにくいので実数の波動関数を用いる

$s : l = 0$

$$s = Y_{0,0} = \frac{1}{2\sqrt{\pi}}$$

```
load(draw);
d(f):=draw3d(color=red, spherical(if realpart(f)>0 then f else 0,phi,0,2*%pi,theta,0,%pi),
            color=blue,spherical(if realpart(f)<0 then -f else 0,phi,0,2*%pi,theta,0,%pi),
            surface_hide=true);
define(s(theta,phi),Ylm(0,0,theta,phi));
d(s(theta,phi))$
```



波動関数の角度依存

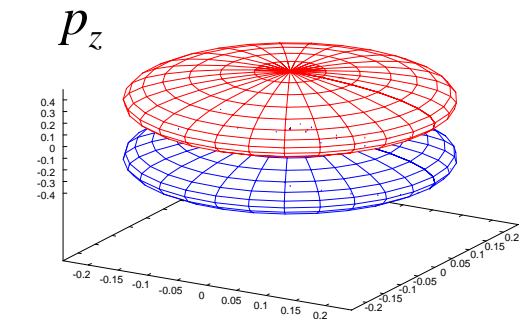
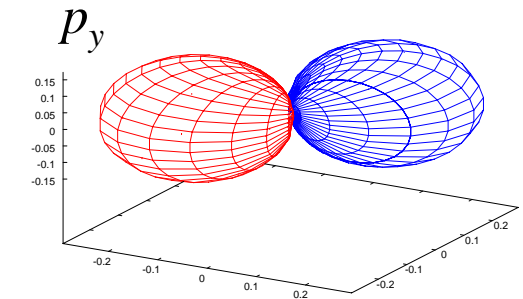
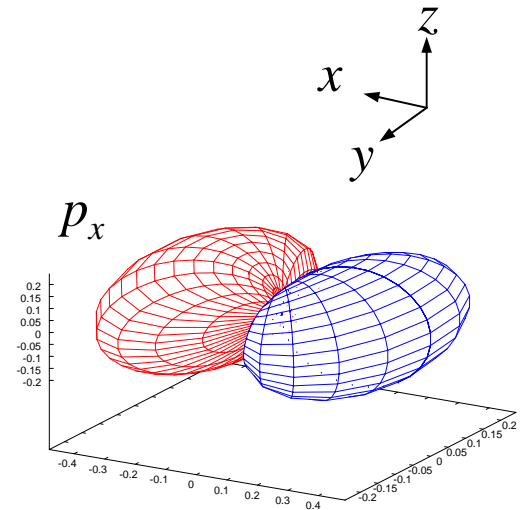
$$p : l = 1$$

$$p_x = \frac{1}{\sqrt{2}}(Y_{1,-1} - Y_{1,1}) = \sqrt{\frac{3}{4\pi}} \frac{x}{r}$$

$$p_y = \frac{i}{\sqrt{2}}(Y_{1,-1} + Y_{1,1}) = \sqrt{\frac{3}{4\pi}} \frac{y}{r}$$

$$p_z = Y_{1,0} = \sqrt{\frac{3}{4\pi}} \frac{z}{r}$$

```
define(px(theta, phi), radcan((Ylm(1, -1, theta, phi) - Ylm(1, 1, theta, phi)) / sqrt(2)));
d(px(theta, phi))$
define(py(theta, phi), radcan((Ylm(1, -1, theta, phi) + Ylm(1, 1, theta, phi) * %i) / sqrt(2)));
d(py(theta, phi))$
define(pz(theta, phi), radcan(Ylm(1, 0, theta, phi)));
d(pz(theta, phi))$
```



波動関数の角度依存

$$d: l=2$$

$$d_{z^2} = Y_{2,0} = \frac{1}{4} \sqrt{\frac{5}{\pi}} \left(3 \frac{z^2}{r^2} - 1 \right)$$

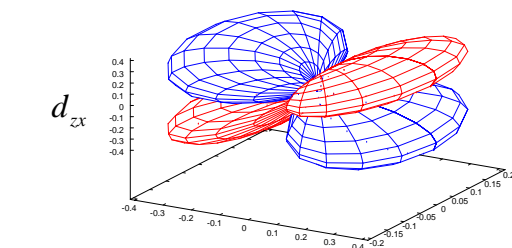
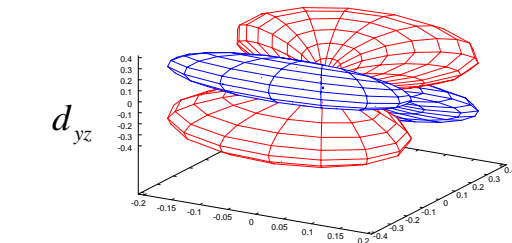
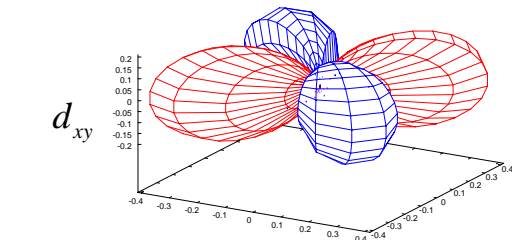
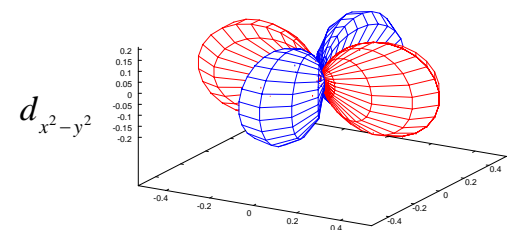
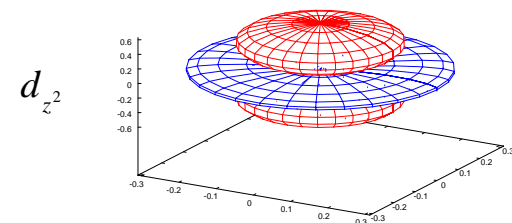
$$d_{x^2-y^2} = \frac{1}{\sqrt{2}} (Y_{2,2} + Y_{2,-2}) = \frac{1}{4} \sqrt{\frac{15}{\pi}} \frac{x^2 - y^2}{r^2}$$

$$d_{xy} = \frac{1}{i\sqrt{2}} (Y_{2,2} - Y_{2,-2}) = \frac{1}{2} \sqrt{\frac{15}{\pi}} \frac{xy}{r^2}$$

$$d_{yz} = \frac{1}{i\sqrt{2}} (Y_{2,1} + Y_{2,-1}) = -\frac{1}{2} \sqrt{\frac{15}{\pi}} \frac{yz}{r^2}$$

$$d_{zx} = \frac{1}{\sqrt{2}} (Y_{2,1} - Y_{2,-1}) = -\frac{1}{2} \sqrt{\frac{15}{\pi}} \frac{zx}{r^2}$$

```
d(dz2(theta,phi))$
define(dx2y2(theta,phi),radcan((Ylm(2,2,theta,phi)+Ylm(2,-2,theta,phi))/sqrt(2)));
d(dx2y2(theta,phi))$
define(dxy(theta,phi),radcan((Ylm(2,2,theta,phi)-Ylm(2,-2,theta,phi))/(sqrt(2)*%i)));
d(dxy(theta,phi))$
define(dyz(theta,phi),radcan((Ylm(2,1,theta,phi)+Ylm(2,-1,theta,phi))/(sqrt(2)*%i)));
d(dyz(theta,phi))$
define(dzx(theta,phi),radcan((Ylm(2,1,theta,phi)-Ylm(2,-1,theta,phi))/sqrt(2)));
d(dzx(theta,phi))$
```

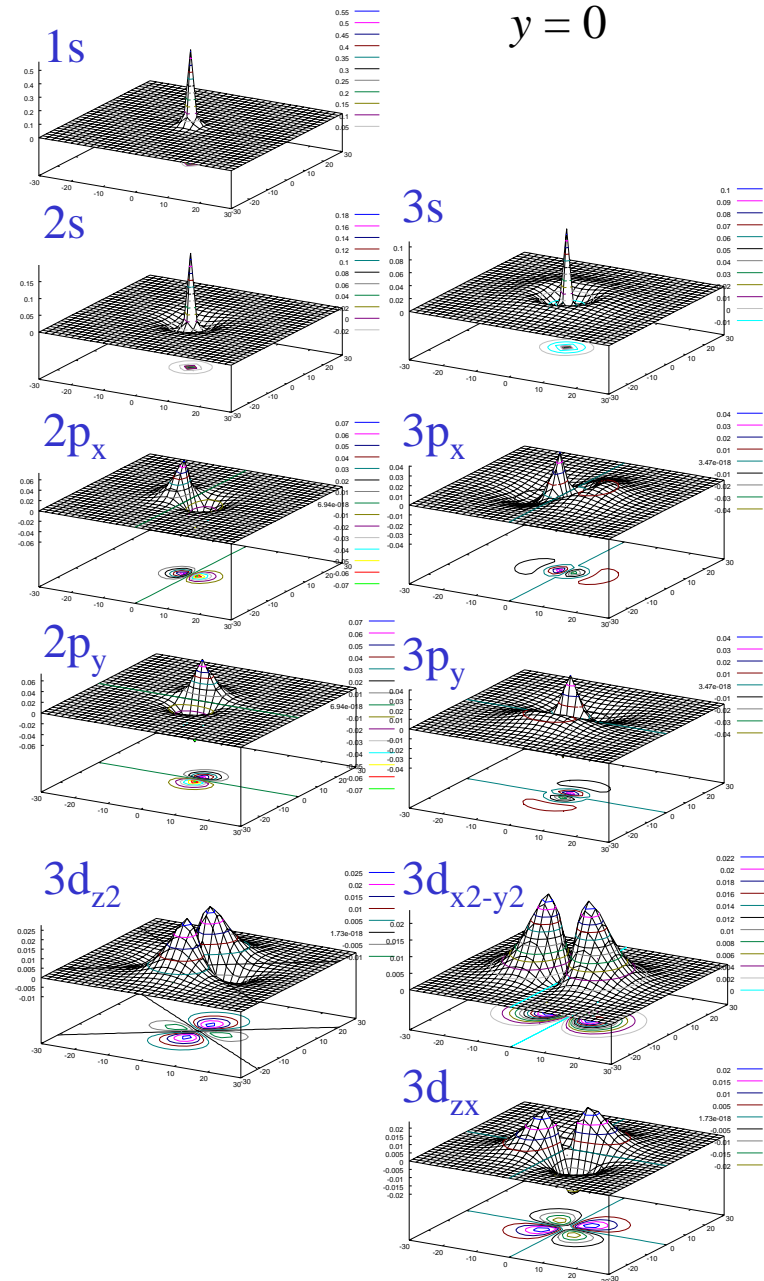


波動関数をプロットする

```

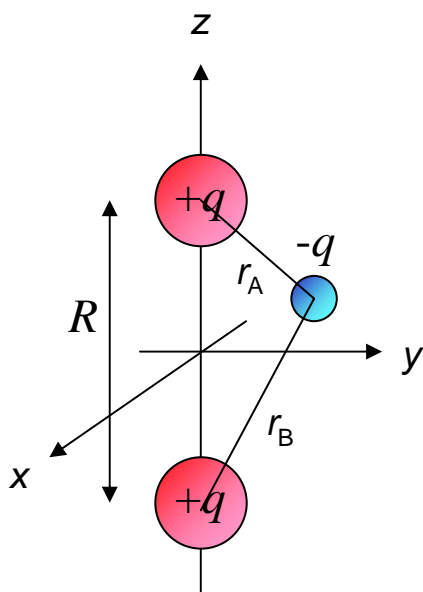
load("orthopoly");
Rnl(n,l,r) := sqrt((2/(%a0*n))^3*(n-1)!/(2*n*((n+1)!)))*(2*r/(%a0*n))^l
            *exp(-r/(%a0*n))* gen_laguerre(n-1-l,2*l+1,2*r/(%a0*n));
Ylm(l,m,theta,phi) := spherical_harmonic(l,m,theta,phi);
%a0:1;
load(draw);
define(s(theta,phi),Ylm(0,0,theta,phi));
define(px(theta,phi),radcan((Ylm(1,-1,theta,phi)-Ylm(1,1,theta,phi))/sqrt(2)));
define(py(theta,phi),radcan((Ylm(1,-1,theta,phi)+Ylm(1,1,theta,phi))*i/sqrt(2)));
define(pz(theta,phi),radcan(Ylm(1,0,theta,phi)));
define(dz2(theta,phi),Ylm(2,0,theta,phi));
define(dx2y2(theta,phi),radcan((Ylm(2,2,theta,phi)+Ylm(2,-2,theta,phi))/sqrt(2)));
define(dxy(theta,phi),radcan((Ylm(2,2,theta,phi)-Ylm(2,-2,theta,phi))/(sqrt(2)*%i)));
define(dyz(theta,phi),radcan((Ylm(2,1,theta,phi)+Ylm(2,-1,theta,phi))/(sqrt(2)*%i)));
define(dzx(theta,phi),radcan((Ylm(2,1,theta,phi)-Ylm(2,-1,theta,phi))/sqrt(2)));
r:sqrt(x^2+y^2+z^2);
theta:acos(z/r);
phi:atan2(y,x);
define(psi_s(n,x,y,z),Rnl(n,0,r)*s(theta,phi));
define(psi_px(n,x,y,z),Rnl(n,1,r)*px(theta,phi));
define(psi_py(n,x,y,z),Rnl(n,1,r)*py(theta,phi));
define(psi_pz(n,x,y,z),Rnl(n,1,r)*pz(theta,phi));
define(psi_dz2(n,x,y,z),Rnl(n,2,r)*dz2(theta,phi));
define(psi_dx2y2(n,x,y,z),Rnl(n,2,r)*dx2y2(theta,phi));
define(psi_dxy(n,x,y,z),Rnl(n,2,r)*dxy(theta,phi));
define(psi_dyz(n,x,y,z),Rnl(n,2,r)*dyz(theta,phi));
define(psi_dzx(n,x,y,z),Rnl(n,2,r)*dzx(theta,phi));
d(f):=draw3d(explicit(f,x,-30,30,z,-30,30),
             contour_levels=15,contour=both,surface_hide=true);
y:0.0001$
d(psi_s(1,x,y,z))$
d(psi_s(2,x,y,z))$
d(psi_px(2,x,y,z))$
d(psi_pz(2,x,y,z))$
d(psi_s(3,x,y,z))$
d(psi_px(3,x,y,z))$
d(psi_pz(3,x,y,z))$
d(psi_dz2(3,x,y,z))$
d(psi_dx2y2(3,x,y,z))$
d(psi_dzx(3,x,y,z))$

```



分子結合

H_2^+ 分子を考える



座標の単位を Bohr 半径 ($a_0=5.3 \times 10^{-11} \text{m}$)
 エネルギーの単位を Hartree ($2Ry = 27.3 \text{eV}$)

にとる

$$H = -\frac{1}{2} \nabla^2 - \frac{1}{r_A} - \frac{1}{r_B} + \frac{1}{R}$$

$\Psi = c_A \phi_A + c_B \phi_B$ で固有関数と固有値を求める

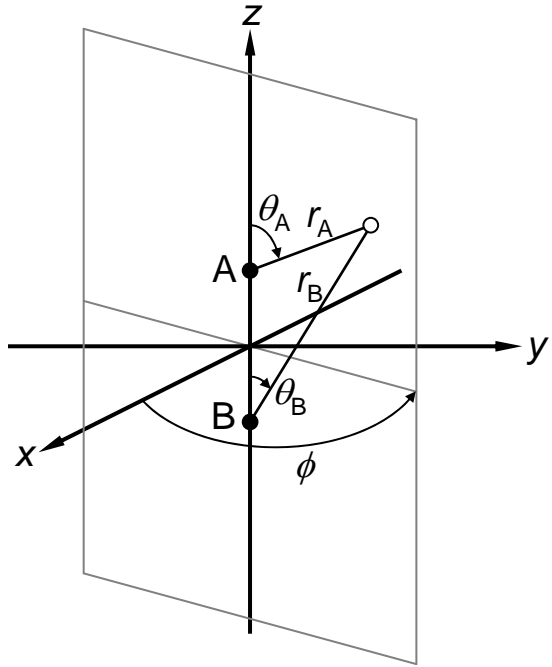
$$\Psi_g = \frac{\phi_A + \phi_B}{\sqrt{2(1+S)}} \quad E_g = \varepsilon + \frac{1}{R} - \frac{J+K}{1+S}$$

$$\Psi_u = \frac{\phi_A - \phi_B}{\sqrt{2(1+S)}} \quad E_u = \varepsilon + \frac{1}{R} - \frac{J-K}{1-S}$$

ε : 1原子のエネルギー

$$J = \int \phi_A^* \frac{1}{r_B} \phi_A dV \quad K = \int \phi_B^* \frac{1}{r_B} \phi_A dV \quad S = \int \phi_A^* \phi_B dV$$

橢圓座標



$$A = (0, 0, R/2)$$

$$B = (0, 0, -R/2)$$

$$r_B \cos \theta_B - r_A \cos \theta_A = R \quad \Rightarrow \quad \cos \theta_A = \frac{r_B^2 - r_A^2 - R^2}{2Rr_A}$$

$$r_B \sin \theta_B = r_A \sin \theta_A \quad \Rightarrow \quad \cos \theta_B = \frac{r_B^2 - r_A^2 + R^2}{2Rr_B}$$

$$r_A = \frac{\mu + \nu}{2} R$$

$$\cos \theta_A = \frac{-\mu\nu - 1}{\mu + \nu} \quad \sin \theta_A = \frac{\sqrt{(\mu^2 - 1)(1 - \nu^2)}}{\mu + \nu}$$

$$r_B = \frac{\mu - \nu}{2} R$$

$$\cos \theta_B = \frac{-\mu\nu + 1}{\mu - \nu} \quad \sin \theta_B = \frac{\sqrt{(\mu^2 - 1)(1 - \nu^2)}}{\mu - \nu}$$

$$1 \leq \mu, \quad -1 \leq \nu < 1, \quad 0 \leq \phi < 2\pi$$

$$x = \frac{R}{2} \sqrt{(\mu^2 - 1)(1 - \nu^2)} \cos \phi$$

$$y = \frac{R}{2} \sqrt{(\mu^2 - 1)(1 - \nu^2)} \sin \phi$$

$$z = -\frac{R}{2} \mu\nu$$

$$\Rightarrow \begin{vmatrix} \frac{\partial x}{\partial \mu} & \frac{\partial x}{\partial \nu} & \frac{\partial x}{\partial \phi} \\ \frac{\partial y}{\partial \mu} & \frac{\partial y}{\partial \nu} & \frac{\partial y}{\partial \phi} \\ \frac{\partial z}{\partial \mu} & \frac{\partial z}{\partial \nu} & \frac{\partial z}{\partial \phi} \end{vmatrix} = \frac{1}{8} R^3 (\mu^2 - \nu^2)$$

$$J = \int \phi_A^* \frac{1}{r_B} \phi_A dV = \frac{R^2}{4} \int_1^\infty d\mu \int_{-1}^1 d\nu \int_0^{2\pi} d\phi (\mu + \nu) |\phi_A|^2$$

$$K = \int \phi_B^* \frac{1}{r_B} \phi_A dV = \frac{R^2}{4} \int_1^\infty d\mu \int_{-1}^1 d\nu \int_0^{2\pi} d\phi (\mu + \nu) \phi_A \phi_B$$

$$S = \int \phi_A^* \phi_B dV = \frac{R^3}{8} \int_1^\infty d\mu \int_{-1}^1 d\nu \int_0^{2\pi} d\phi (\mu^2 - \nu^2) \phi_A \phi_B$$

```

load("orthopoly");
Rnl(n,l,r) := sqrt((2/(%a0*n))^3*(n-l-1)!/(2*n*((n+1)!)))*(2*r/(%a0*n))^l
             *exp(-r/(%a0*n))* gen_laguerre(n-l-1,2*l+1,2*r/(%a0*n));
%a0:1;
define(psi(r),Rnl(1,0,r)/(2*sqrt(%pi)));
assume(R>0);
rA:(u+v)*R/2;
rB:(u-v)*R/2;
tA:acos((-u*v-1)/(u+v));
tB:acos((-u*v+1)/(u-v));
J(R):=R^2/4*2*pi*integrate(integrate((u+v)*psi(rA)^2, v,-1,1),u,1,inf);
K(R):=R^2/4*2*pi*integrate(integrate((u+v)*psi(rA)*psi(rB), v,-1,1),u,1,inf);
S(R):=R^3/8*2*pi*integrate(integrate((u^2-v^2)*psi(rA)*psi(rB),v,-1,1),u,1,inf);
define(Eg(R),radcan(1/R-(J(R)+K(R))/(1+S(R))));
define(Eu(R),radcan(1/R-(J(R)-K(R))/(1-S(R))));
plot2d([Eg(R),Eu(R)],[R,0.2,8],[y,-0.2,0.4]);
load(newton);
Rmin:newton(diff(Eg(x),x),2);
Emin:Eg(Rmin);

```

$$Eg(R) := -\frac{(2R^2 - 3)e^R - 3R - 3}{3Re^{2R} + (R^3 + 3R^2 + 3R)e^R}$$

$$Eu(R) := \frac{(2R^2 - 3)e^R + 3R + 3}{3Re^{2R} + (-R^3 - 3R^2 - 3R)e^R}$$

2.4928304110358391b0

-6.483099237080779b-2

ボンド長 : 2.49

結合エネルギー : 0.0648



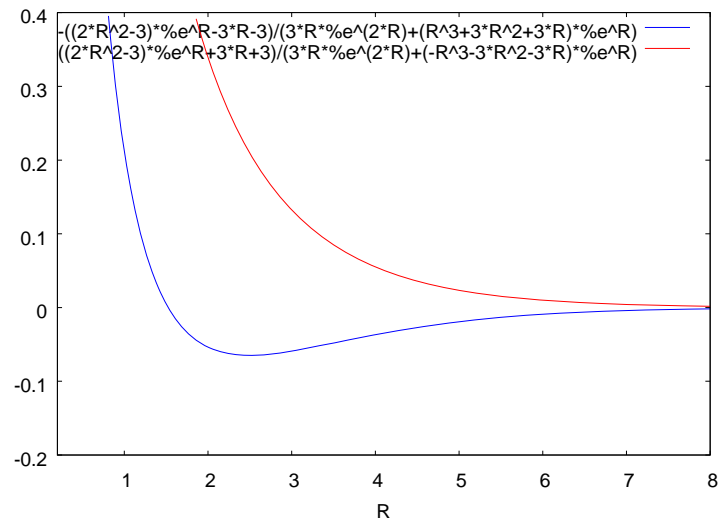
0.13 nm

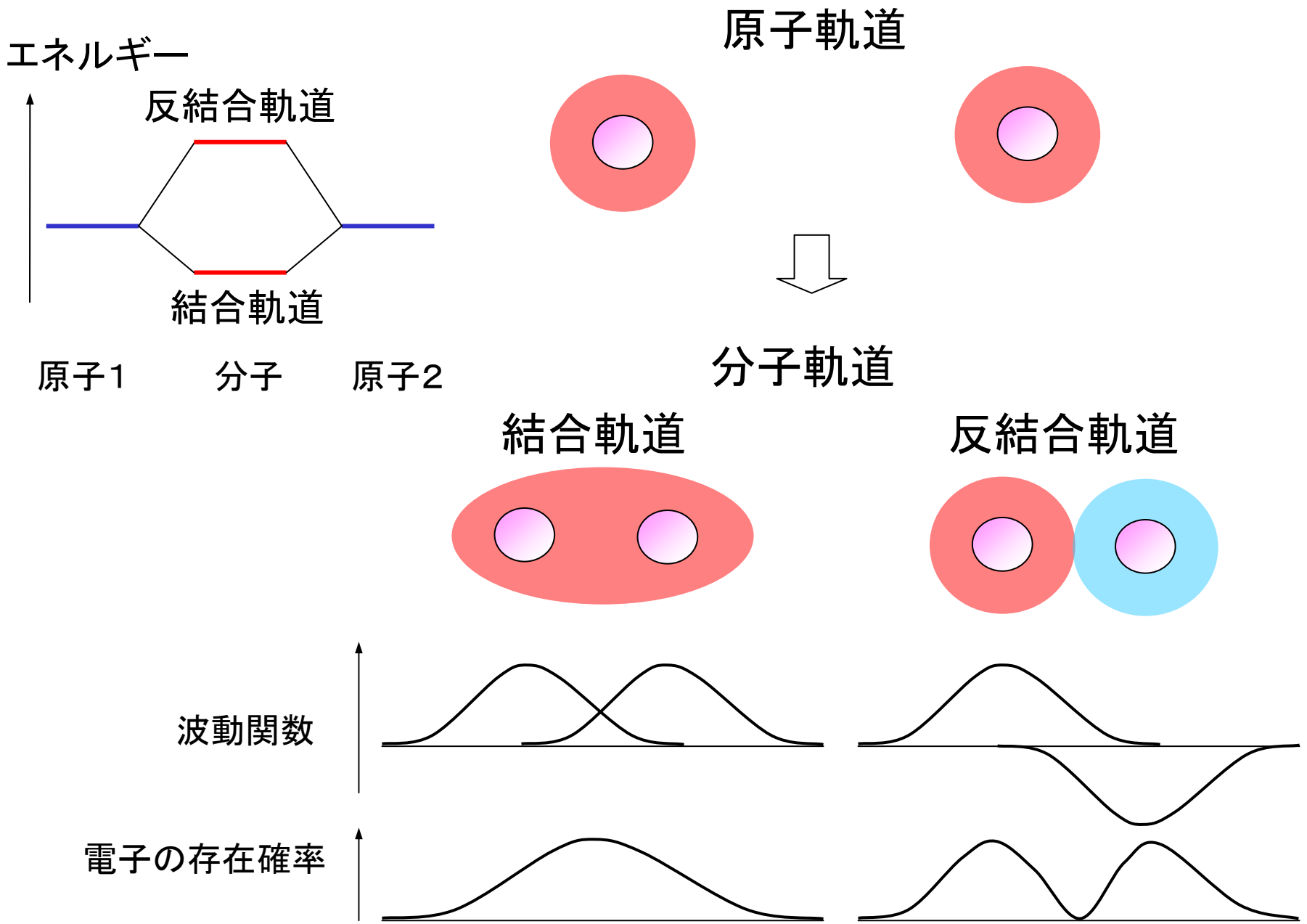
1.76 eV

実際の値

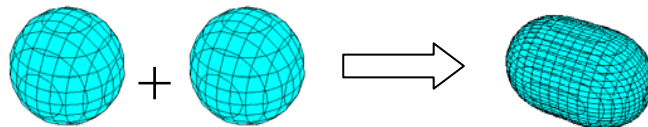
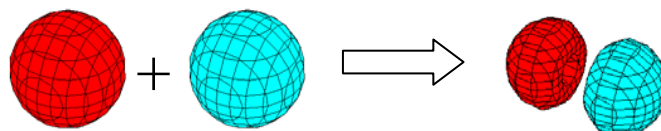
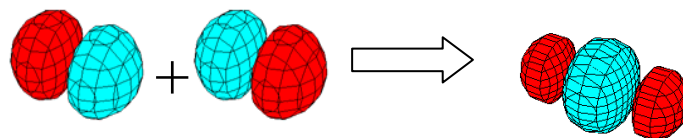
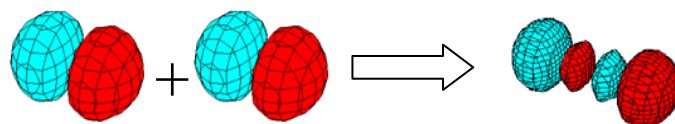
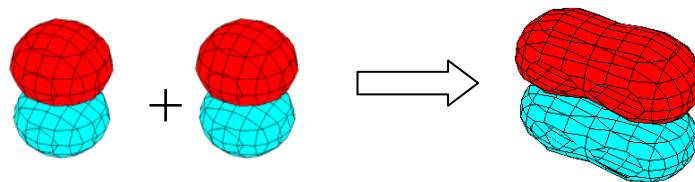
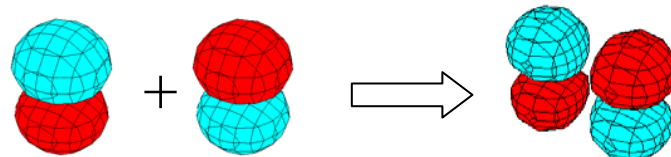
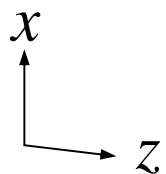
0.11 nm

2.78 eV





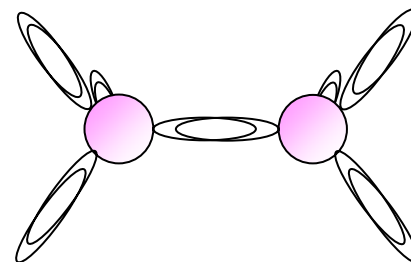
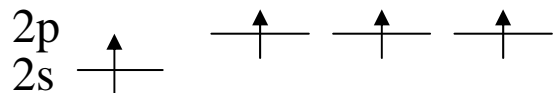
s 軌道

 σ_s 結合軌道 σ_s^* 反結合軌道 p_z 軌道 σ_p 結合軌道 σ_p^* 反結合軌道 p_x 軌道 π_p 結合軌道 π_p^* 反結合軌道

混成軌道



⇩ 昇位



原子軌道のエネルギー
としては損

結合数が増えることにより
エネルギーが得

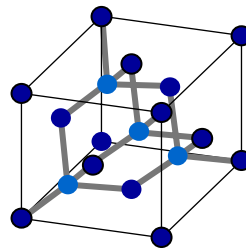
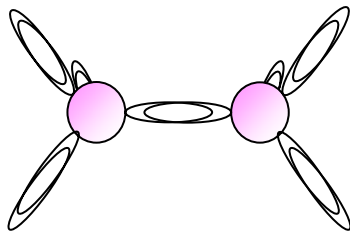
sp³ 混成軌道

$$\psi_1 = \frac{1}{2}(\phi_{2s} + \phi_{2p_x} + \phi_{2p_y} + \phi_{2p_z})$$

$$\psi_2 = \frac{1}{2}(\phi_{2s} + \phi_{2p_x} - \phi_{2p_y} - \phi_{2p_z})$$

$$\psi_3 = \frac{1}{2}(\phi_{2s} - \phi_{2p_x} + \phi_{2p_y} - \phi_{2p_z})$$

$$\psi_4 = \frac{1}{2}(\phi_{2s} - \phi_{2p_x} - \phi_{2p_y} + \phi_{2p_z})$$



ダイヤモンド構造

```

sp3a(x,y,z):=(psi_s(2,x,y,z)+psi_px(2,x,y,z)+psi_py(2,x,y,z)+psi_pz(2,x,y,z))/2;
sp3b(x,y,z):=(psi_s(2,x,y,z)+psi_px(2,x,y,z)-psi_py(2,x,y,z)-psi_pz(2,x,y,z))/2;
sp3c(x,y,z):=(psi_s(2,x,y,z)-psi_px(2,x,y,z)+psi_py(2,x,y,z)-psi_pz(2,x,y,z))/2;
sp3d(x,y,z):=(psi_s(2,x,y,z)-psi_px(2,x,y,z)-psi_py(2,x,y,z)+psi_pz(2,x,y,z))/2;
y:0.0001;
d(f):=draw3d(explicit(f,x,-10,10,z,-10,10),
  contour_levels=15,contour=both,surface_hide=true);
d(sp3a(x,y,z))$
d(sp3b(x,y,z))$
d(sp3b(x,y,z))$
d(sp3b(x,y,z))$

```

